

# 用 0.3 M HDEHP-0.2 M TBP/煤油 从 $\text{HNO}_3$ 介质中萃取分离铈和钷

张 绍 纶

本工作研究了在 0.3 M HDEHP-0.2 M TBP/煤油- $\text{HNO}_3$ 体系中,以 $\text{KMnO}_4$ 为氧化剂进行铈和钷的萃取分离。给出了不同  $\text{HNO}_3$  浓度下  $\text{Ce}(\text{IV})$ 、 $\text{Ce}(\text{III})$  和  $\text{Pm}$  的分配系数;描述了  $\text{KMnO}_4$  浓度、料液组分、预氧化时间对  $\text{Ce}(\text{IV})$  萃取速度的影响;经过筛选,确定用蔗糖作过程中产生的  $\text{MnO}_2$  的还原剂;并对  $\text{Ce}(\text{IV})$  的反萃取条件进行了试验;最后进行了工艺流程研究,在推荐的条件下,  $\text{Ce}$  和  $\text{Pm}$  回收率分别大于 97.2% 和 96.9%。

关键词 HDEHP, 萃取, 分离,  $\text{Ce}$ ,  $\text{Pm}$ 。

## 前 言

随着动力堆的发展和所需要处理的辐照核燃料数量的增加,合理处置高放废液的问题已引起各有关国家的重视。

高放废液中一般含有裂片元素和锕系元素,提取其中一些有价值的元素,不但对国防和国民经济具有一定意义,而且经过这样处理的废水经固化后,可以永久贮存而不会对周围环境造成危害。 $^{144}\text{Ce}$  和  $^{147}\text{Pm}$  的分离工作就是依据这一基本思想,作为高放废液综合提取流程的一个组成部分提出来的。

高放废液经分离  $\text{Np}$ ,  $\text{Pu}$ ,  $\text{Am}$  和  $\text{Cm}$  后,液流中尚含有全部稀土元素<sup>[1]</sup>。为了提取其中的热源材料 $^{147}\text{Pm}$ ,在离子交换法纯化 $^{147}\text{Pm}$ 之前,需要去除 $^{144}\text{Ce}$ 。 $^{144}\text{Ce}$  的强  $\gamma$  辐照会引起树脂辐射降解、产生气体而破坏树脂柱,大量 $^{144}\text{Ce}$  的存在还会大大降低树脂的容量。目前,HDEHP 溶剂萃取法是分离  $\text{Ce}$  和  $\text{Pm}$  的重要方法之一。Peppard<sup>[2]</sup>的研究表明,在 10 N  $\text{HNO}_3$  中用 0.75 M HDEHP/正庚烷萃取  $\text{Ce}(\text{IV})$ ,分配系数  $> 8 \times 10^3$ , $\text{Ce}(\text{IV})/\text{Ce}(\text{III})$  分离因素高达  $10^6$ 。

分离  $\text{Ce}$  和  $\text{Pm}$  的关键是选择适当的氧化剂。美国汉福特工厂分离  $\text{Ce}$  和其它稀土是用  $\text{K}_2\text{S}_2\text{O}_8$  作  $\text{Ce}(\text{III})$  的氧化剂<sup>[3,4]</sup>。这需要贵重的  $\text{Ag}$  作催化剂,并引进了腐蚀性的  $\text{SO}_4^{2-}$ 。对其它氧化剂,例如  $\text{K}_2\text{Cr}_2\text{O}_7$ <sup>[5,6]</sup>,  $\text{NaBrO}_3$ <sup>[7,8]</sup>,  $\text{NaBiO}_3$ <sup>[3]</sup>,  $\text{Pb}_2\text{O}_3$ <sup>[9]</sup>,  $\text{AgO}$ <sup>[10]</sup>,  $\text{KMnO}_4$ <sup>[3,11]</sup>,  $\text{O}_3$ <sup>[12~16]</sup> 和电解氧化法<sup>[13,17,18]</sup>,我们做了调查和比较,最后选择了来源方便、价钱便宜、氧化能力强,适合强放工艺流程中使用的  $\text{KMnO}_4$  作研究对象。

在萃取分离过程中,因  $\text{KMnO}_4$  的还原会产生  $\text{MnO}_2$ ,它的吸附载带作用可造成部分  $\text{Pm}$  的丢失及使分相困难。Butler<sup>[11]</sup>曾采用柠檬酸来消除  $\text{MnO}_2$ ,但有人担心在最后废液玻璃固化时,柠檬酸的存在会有产生爆炸的危险<sup>[19]</sup>。我们进行了一系列筛选工作后,选定普通食用蔗糖作  $\text{MnO}_2$  还原剂,不但消除  $\text{MnO}_2$  的效果令人满意,而且使用安全,价格便宜。到目前为止,还没有见到蔗糖用于工艺中还原  $\text{MnO}_2$  的报道。

## 实验部分

### 1. 试剂及放射性示踪剂

HDEHP, 三级, 用铜盐沉淀法纯化<sup>[20]</sup>, 纯度>99%; TBP, 特定三级, 使用前用等体积 2.5% Na<sub>2</sub>CO<sub>3</sub> 和 0.1 N HNO<sub>3</sub> 各洗三次, 再用去离子水洗至中性; 240# 加氢煤油, 未经进一步处理; Ce(NO<sub>3</sub>)<sub>3</sub>·6H<sub>2</sub>O, 二级; Nd<sub>2</sub>O<sub>3</sub>, 纯度 99.95%; KMnO<sub>4</sub>, 当量试剂; 普通食用蔗糖; 其它试剂均为分析级。

<sup>141</sup>Ce, γ 能谱鉴定合格; <sup>147</sup>Pm, 无 γ 杂质, 均为本所同位素部出品。

### 2. 料液制备

为分析测量方便起见, 仅配制成含单一放射性示踪剂的料液进行实验, 贮液组分见表 1。

表 1 贮液组分

组分	Ce 贮液			Pm 贮液	
	1	2	3	1	3
Ce, mg/ml	0.02	5.0	25	—	25
Nd*, mg/ml	—	12	60	0.02	60
示踪剂, cpm/ml	$(0.6\text{--}2) \times 10^6$ <sup>141</sup> Ce			$(2\text{--}6) \times 10^5$ <sup>147</sup> Pm	
HNO <sub>3</sub> , N	2.0			2.0	

\* 用 Nd 代表除 Ce 外的稀土元素组分。

### 3. 分析方法

分配系数和回收率的测定全部用放射性测量法。<sup>141</sup>Ce 用 NaI(Tl) 井型晶体, GP-1 型单道 γ 能谱仪测 γ 射线; <sup>147</sup>Pm 用铜钟罩型云母窗有机计数管(J, 141 αβ 型), FH-408 自动定标仪测 β 射线。

### 4. 实验方法

(1) 分配系数( $K_d$ ) 测定 10 ml 磨口离心试管中加进 2.0 ml 0.3 M HDEHP-0.2 M TBP/煤油, 用等体积空白 HNO<sub>3</sub> 溶液预平衡两次, 然后加 0.5 ml 贮液及一定量其它组分溶液, 使水相总体积也为 2.0 ml, 振荡 30 min, 离心分相, 测两相放射性。

(2) 萃取动力学研究 除振荡时间不同外, 其它同(1)。

(3) 还原 MnO<sub>2</sub> 开始几步与分配系数测定相同。在两相振荡 30 min 后, 加 0.2 ml 还原剂, 再继续振荡不同时间, 离心分相后测两相放射性。

(4) 反萃取实验 经上述步骤(3)得到的有机相, 用等体积一定组分的反萃液反萃取。全部实验在恒温箱(25±1°C)内进行。实验数据一般都是两个平行实验的算术平均值。

## 结果和讨论

### 1. 分配系数( $K_d$ )与 $\text{HNO}_3$ 浓度的关系

测定了不同  $\text{HNO}_3$  浓度下  $\text{Ce(III)}$ 、 $\text{Ce(IV)}$  和  $\text{Pm(III)}$  的分配系数(图 1)。实验结果表明,  $K_d$  值都随  $\text{HNO}_3$  浓度的增加变小,  $\log K_d$  与  $\log[\text{HNO}_3]$  呈线性关系。对  $\text{Ce(III)}$  和  $\text{Pm(III)}$ , 直线段的斜率为 1.5, 这和 Bray<sup>[3]</sup> 用 0.4 M HDEHP-0.2 M TBP/Soltrol 170 作萃取剂得到的结果非常一致。由于  $\text{Pm(III)}$  的分配系数比  $\text{Ce(IV)}$  的分配系数小得多, 例如在 2.0 N  $\text{HNO}_3$  时, 后者是前者的  $4 \times 10^4$  倍, 所以, 单级萃取分离  $\text{Ce}$  和  $\text{Pm}$  是完全可能的。

### 2. 萃取动力学

图 2 表明  $\text{Ce(IV)}$  和  $\text{Pm(III)}$  分配系数随萃取时间的变化。 $\text{Ce(IV)}$  萃取平衡时间明显地与料液组成有关, 料液中  $\text{Ce}$  浓度越大, 达到平衡所需要的时间越长。在图 2 所示条件下, 平衡 30 min 后,  $\text{Ce(IV)}$  萃取率都在 98% 以上。在  $\text{KMnO}_4$  浓度较低时, 萃取一定时间后,  $\text{Ce(IV)}$  的分配系数反而逐渐下降是由于  $\text{KMnO}_4$  已全部消耗,  $\text{Ce(IV)}$  又慢慢被有机相还原所致, 这一点也可以从萃取过程中溶液颜色的变化得到证明。 $\text{Pm(III)}$  在 5 min 内即达到萃取平衡。

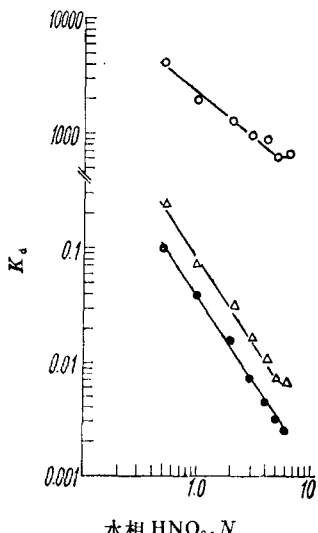


图 1  $\text{Ce(III)}$ 、 $\text{Ce(IV)}$  和  $\text{Pm(III)}$  的分  
配系数与  $\text{HNO}_3$  浓度的关系

有机相: 0.3 M HDEHP-0.2 M TBP/煤油; 水相:  
 ○— $\text{Ce(IV)}$ ,  $1.5 \times 10^5 \text{ cpm/ml}^{144}\text{Ce}$ ,  $5 \mu\text{g/ml}$   
 $\text{Ce}$ 载体,  $0.05 \text{ M KMnO}_4$ ; ●— $\text{Ce(III)}$ ,  $1.5 \times 10^5$   
 $\text{cpm/ml}^{144}\text{Ce}$ ,  $5 \mu\text{g/ml}$   $\text{Ce}$ 载体,  $3\% \text{ H}_2\text{O}_2$ ; △—  
 $\text{Pm(III)}$ ,  $5 \times 10^4 \text{ cpm/ml}^{147}\text{Pm}$ ,  $5 \mu\text{g/ml Nd}$   
 载体。

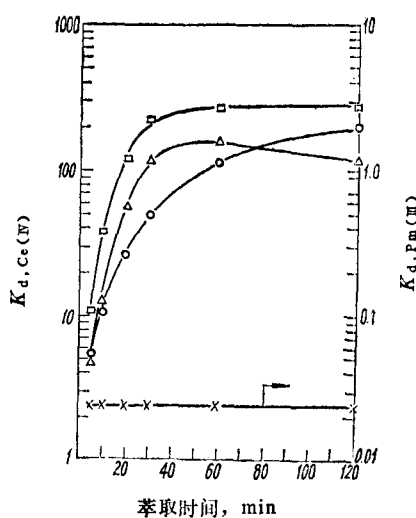


图 2  $\text{Ce(IV)}$  和  $\text{Pm(III)}$  的分  
配系  
数与萃取平衡时间的关系

有机相: 0.3 M HDEHP-0.2 M TBP/煤油; 水  
 相: △— $1.25 \text{ mg/ml Ce}$ ,  $3.0 \text{ mg/ml Nd}$ ,  
 $0.02 \text{ M KMnO}_4$ , 2.0 N  $\text{HNO}_3$ ; □— $1.25 \text{ mg}/\text{ml Ce}$ ,  
 $3.0 \text{ mg/ml Nd}$ ,  $0.05 \text{ M KMnO}_4$ , 2.0  
 $\text{N HNO}_3$ ; ○— $6.25 \text{ mg/ml Ce}$ ,  $15.0 \text{ mg/ml Nd}$ ,  
 $0.10 \text{ M KMnO}_4$ , 2.0 N  $\text{HNO}_3$ ; ×— $6.25$   
 $\text{mg/ml Ce}$ ,  $15.0 \text{ mg/ml Nd}$ , 2.0 N  $\text{HNO}_3$ 。

### 3. 预先氧化对 $\text{Ce(IV)}$ 萃取速度的影响

以工厂规模进行  $^{144}\text{Ce}$  和  $^{147}\text{Pm}$  分离时, 放射性强度高达几万乃至百万居里。因此,

尽量减少两相接触时间对减少溶剂辐解和  $\text{KMnO}_4$  的消耗是有利的。为此, 我们把  $\text{KMnO}_4$  先加到水相氧化 30 min, 然后再和有机相接触萃取, 并与没有预氧化的萃取实验作对比。结果表明预氧化没有任何作用(图 3)。这说明  $\text{KMnO}_4$  对  $\text{Ce}(\text{III})$  的氧化速度要比  $\text{Ce}(\text{IV})$  的萃取速度快得多。

#### 4. $\text{KMnO}_4$ 浓度对 $\text{Ce}(\text{IV})$ 萃取速度的影响

改变  $\text{KMnO}_4$  浓度对两种组分的料液进行了实验, 结果示于图 4。氧化剂浓度越高,  $\text{Ce}(\text{IV})$  萃取速度越快, 进料液中  $\text{Ce}$  浓度越大, 萃取速度越慢。在下面的实验中, 我们把  $\text{KMnO}_4/\text{Ce}$  的克分子比控制在 2 左右。

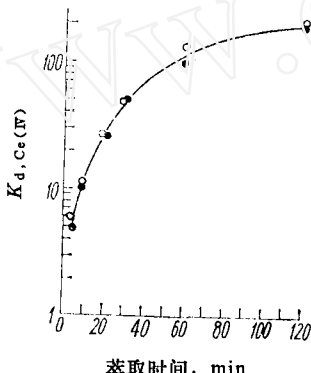


图 3 预氧化对  $\text{Ce}(\text{IV})$  萃取速度的影响

有机相: 0.3 M HDEHP-0.2 M TBP/煤油;  
水 相: 6.25 mg/ml Ce, 15.0 mg/ml Nd, 0.10  
M  $\text{KMnO}_4$ , 2.0 N  $\text{HNO}_3$ ;  
●——在两相接触前, 水相中  $\text{Ce}(\text{III})$  已预氧化 30  
min; ○——加入  $\text{KMnO}_4$  后, 立即和有机相接触。

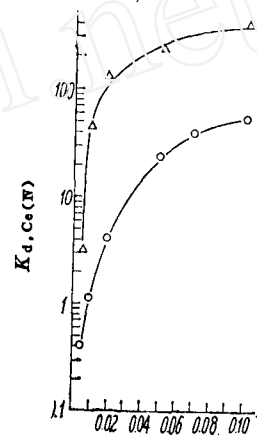


图 4  $\text{KMnO}_4$  浓度对  $\text{Ce}(\text{IV})$  萃取速  
度的影响

有机相: 0.3 M HDEHP-0.2 M TBP/煤油;  
水 相: △——1.25 mg/ml Ce, 3.0 mg/ml Nd,  
2.0 N  $\text{HNO}_3$ ; ○——6.25 mg/ml Ce, 15.0 mg/  
ml Nd, 2.0 N  $\text{HNO}_3$ 。

#### 5. 还原 $\text{MnO}_2$

$\text{KMnO}_4$  氧化  $\text{Ce}(\text{III})$  会产生  $\text{MnO}_2$ ,  $\text{MnO}_2$  能吸附三价稀土元素, 当水相和有机相接触时会使两相分离不清。国外使用柠檬酸消除  $\text{MnO}_2$ , 有人认为这会给废液最终玻璃固化带来麻烦, 因此需要寻找一种新的中等强度还原剂, 以便在  $\text{HNO}_3$  溶液中还原溶解  $\text{MnO}_2$ , 而不大量还原有机相中的  $\text{Ce}(\text{IV})$ 。对甲酸、甲醛、脲、草酸、乳酸、酒石酸、EDTA、DTPA 和蔗糖等进行了筛选试验, 也做了柠檬酸的对照试验, 结果示于图 5 和图 6。

当加入与  $\text{KMnO}_4$  等克分子量的甲酸、甲醛或脲还原 30 min 后, 仍有相当多的  $\text{MnO}_2$  存在; 而草酸、EDTA 或 DTPA 在加入半分钟后即消除了全部  $\text{MnO}_2$ , 但  $\text{Ce}(\text{IV})$  的分配系数也随之急剧下降。前面已提及, 溶剂长时间和料液接触处于强辐照之中是不利的, 可是还原速度太快, 操作上不易掌握,  $\text{Ce}$  的损失也太大。相比之下, 蔗糖较为使人满意, 对两种组分的料液 20 min 内均可基本消除所有  $\text{MnO}_2$ , 同时又不引起  $\text{Ce}$  的过量损失。乳酸和酒石酸效果不如蔗糖。

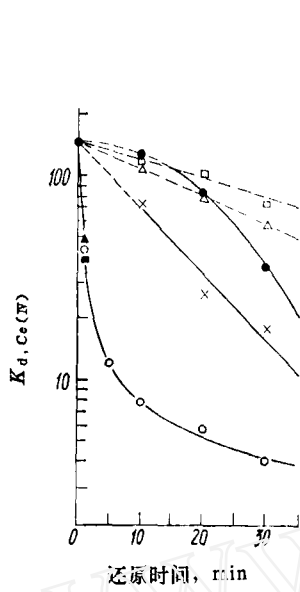


图 5  $\text{MnO}_2$  还原时间对  $\text{Ce}(\text{IV})$  分配系数的影响

有机相: 0.3 M HDEHP-0.2 M TBP/煤油;  
水相: 1.25 mg/ml Ce, 3.0 mg/ml Nd, 0.02  
M  $\text{KMnO}_4$ , 2.0 N  $\text{HNO}_3$ ; 还原剂浓度均为 0.02  
M, □——乳酸; △——酒石酸; ○——EDTA;  
x——柠檬酸; ■——DTPA; ▲——草酸;  
●——蔗糖。

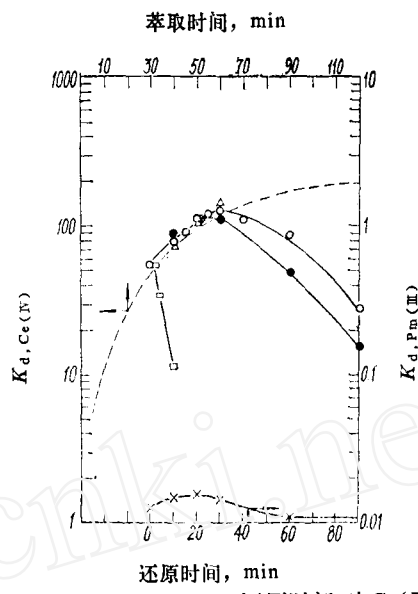


图 6  $\text{MnO}_2$  还原时间对  $\text{Ce}(\text{IV})$  和  $\text{Pm}(\text{III})$  分配系数的影响

有机相: 0.3 M HDEHP-0.2 M TBP/煤油;  
水相: 6.25 mg/ml Ce, 15.0 mg/ml Nd, 0.10  
M  $\text{KMnO}_4$ , 2.0 N  $\text{HNO}_3$ ; 还原剂: △——0.1  
M 柠檬酸; □——0.1 M DTPA; ○, x——  
0.1 M 蔗糖; ●——0.2 M 蔗糖。

在图 5 所示条件下, 加入与  $\text{KMnO}_4$  等克分子量的还原剂后,  $\text{Ce}(\text{IV})$  的分配系数随还原时间的增长而下降, 但在图 6 条件下,  $\text{Ce}(\text{IV})$  的分配系数却继续增加, 达到一最大值后才逐渐减小。这是一个十分有趣并能为我们利用的现象, 它意味着只要  $\text{Ce}(\text{IV})$  尚未达到萃取平衡, 而体系中还有足够浓度的  $\text{KMnO}_4$  存在, 那么象蔗糖, 柠檬酸等中强还原剂的加入, 并不影响  $\text{Ce}(\text{IV})$  的继续萃取。但较强还原剂则有影响(见图 6, DTPA)。为了缩短整个萃取工艺操作时间, 我们把萃取时间从 30 min 降到 10 min, 随后加进与  $\text{KMnO}_4$  等克分子量的蔗糖溶液(其它条件同图 6), 观察  $\text{Ce}(\text{IV})$  分配系数随时间的变化。表 2 数据表明, 萃取 10 min 还原 30 min 效果十分令人满意。曾试验  $\text{KMnO}_4$  和蔗糖同时加入, 发现二者很快发生氧化还原作用而没有  $\text{Ce}(\text{III})$  的氧化。用分析纯蔗糖和一般食用蔗糖作对照试验(表 2), 两者还原  $\text{MnO}_2$  的效果没有什么不同。

表 2 两种蔗糖对  $\text{Ce}(\text{IV})$  分配系数的影响

有机相: 0.3 M HDEHP-0.2 M TBP/煤油; 水相: 6.25 mg/ml Ce, 15.0 mg/ml Nd, 0.10 M  $\text{KMnO}_4$ , 2.0 N  $\text{HNO}_3$ ; 萃取平衡时间: 10 min; 还原剂浓度: 0.10 M。

还原 $\text{MnO}_2$ 时间, min	0	20	30	40	60	90
$K_d, \text{Ce}(\text{IV})$	普通食用蔗糖	11.4	64.7	117.4	143.3	115.0
	分析纯蔗糖	11.4	80.5	122.6	122.1	97.0
		33.7				

## 6. Ce(IV)的反萃取

用  $HNO_3$  和  $H_2O_2$  混合溶液作 Ce(IV) 的还原反萃剂, 研究了反萃取动力学, 以及  $HNO_3$  和  $H_2O_2$  浓度的影响, 结果分别示于图 7、图 8 和图 9。

(1) 反萃取动力学 图 7 表明, 反萃取 5 min 即达到平衡, 工艺上可选用 10 min。

(2) 反萃液中  $HNO_3$  浓度的影响 反萃液中  $HNO_3$  浓度对 Ce(IV) 分配系数的影响十分显著(图 8), 根据需要可使用 2 N 或 3 N。

(3) 反萃液中  $H_2O_2$  浓度的影响 反萃液中  $H_2O_2$  浓度在 1.5%—6.0% 间变化, 分配系数几乎不变(图 9)。

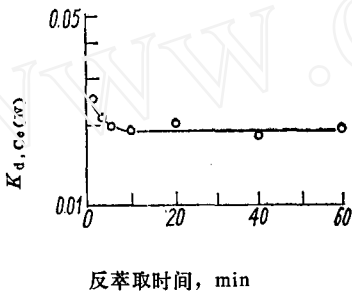


图 7 Ce(IV) 反萃取速度

有机相: 0.3 M HDEHP-0.2 M TBP/煤油, 6.25 mg/ml Ce(IV);  
反萃液: 2.0 N  $HNO_3$ , 3%  $H_2O_2$ 。

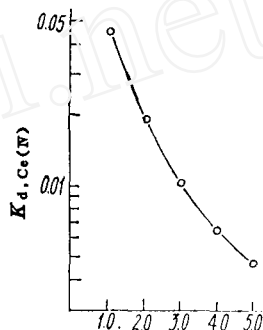


图 8 反萃液中  $HNO_3$  浓度的影响  
有机相: 0.3 M HDEHP-0.2 M TBP/煤油, 6.25 mg/ml Ce(IV);  
反萃液: 3%  $H_2O_2$ ,  $HNO_3$ 。

## 7. Ce 和 Pm 的分离

根据上述实验结果, 设计了单级批式 Ce 和 Pm 的分离流程, 其中包括(1) 分离——含 Ce 和 Pm 的料液与萃取剂 0.3 M HDEHP-0.2 M TBP/煤油混合 10 min, 然后加进蔗糖还原  $MnO_2$  30 min, 此时, Ce 以 Ce(IV) 进入有机相, 而绝大部分 Pm(III) 仍留在水相; (2) 洗涤——含 Ce(IV) 有机相用洗涤剂洗 10 min, 进一步去除 Pm; (3) 反萃取——用反萃剂把 Ce(IV) 从有机相中还原反萃至水相。

对两种组分料液, 改变萃取时两相流比及洗涤条件所进行的分离试验表明(见表 3), 除实验 1、6 和 7 外, 其它所有工艺条件下, Ce 和 Pm 的收率都分别大于 97.2% 和 96.9%, 超过了 >95% 的流程设计指标。因此, 可根据具体情况选用其中某一条件。

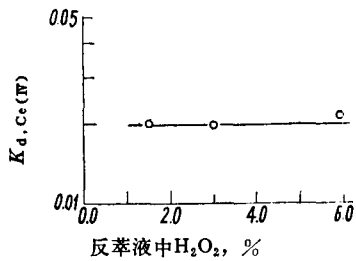


图 9 反萃液中  $H_2O_2$  浓度的影响  
有机相: 0.3 M HDEHP-0.2 M TBP/煤油, 6.25 mg/ml Ce(IV);  
反萃液: 2.0 N  $HNO_3$ ,  $H_2O_2$ 。

## 8. 对原工艺流程设计方案的改进意见

如果把原设计中的 10 级反萃取混合澄清槽(MC 槽)<sup>[1]</sup>, 换成单级批式萃取器, 并按图

表 3 Ce 和 Pm 的分离试验

(1) 萃取——萃取剂 DX: 0.3M HDEHP-0.2M TBP/煤油, 还原剂 DR: 1M 蔗糖, 接触时间: 氧化 10 min, 还原 30 min; (2) 洗涤——洗涤剂 DS: 2N HNO<sub>3</sub>, 流比 DX/DS: 2/1, 接触时间: 10 min; (3) 反萃取——流比 DX/EX=1/1, 接触时间: 10 min。

No.	萃 取			洗 涤		反 萃 取		总收率, %	
	料液*	流 比 DF/DX/DR	收 率, %		收 率, %		HNO <sub>3</sub> , N	H <sub>2</sub> O <sub>2</sub> , %	Ce 收率, %
			Ce	Pm	Ce	Pm			
1		2/1/0.2	78.7	93.9	—	—	2	3	97.7
2		2/2/0.2	99.2	98.5	—	—	2	3	98.2
3	A	2/2/0.2	99.2	98.5	—	—	3	3	99.0
4		2/2/0.2	99.3	98.5	99.9	97.0	2	3	98.1
5		2/2/0.2	99.3	98.5	99.9	97.0	3	3	99.0
6		3/1/0.2	69.5	99.9	—	—	2	3	97.4
7		3/1.5/0.2	93.9	99.1	—	—	2	3	98.1
8	B	3/3/0.2	99.7	98.9	—	—	2	3	98.1
9		3/3/0.2	99.7	96.9	—	—	3	3	99.0
10		3/3/0.2	99.7	97.2	99.9	95.1	2	3	98.1
11		3/3/0.2	99.7	97.2	99.9	95.1	3	3	99.0

\* 料液 A: 6.25 mg/ml Ce, 15.0 mg/ml Nd, 2.0N HNO<sub>3</sub>, 0.10M KMnO<sub>4</sub> (除含 0.10M KMnO<sub>4</sub> 外, 此种料液相当于 MC 槽之水相产品——MCP 之组分) 料液 B: 4.17 mg/ml Ce, 10.0 mg/ml Nd, 1.33N HNO<sub>3</sub>, 0.067M KMnO<sub>4</sub> (相当于 MCP 经 0.20M KMnO<sub>4</sub> 调料后之组分)。

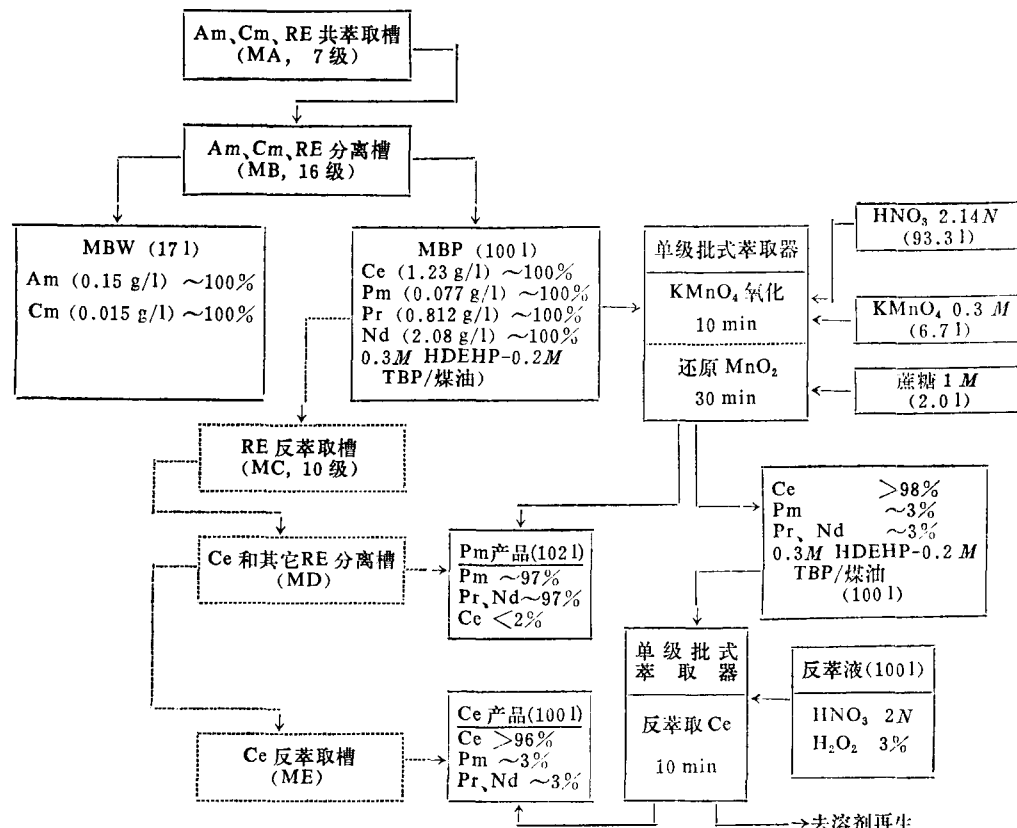


图 10 对原设计工艺流程的改进  
虚线部分为原工艺流程, 两个单级批式萃取器可共用。

(下转第 140 页)

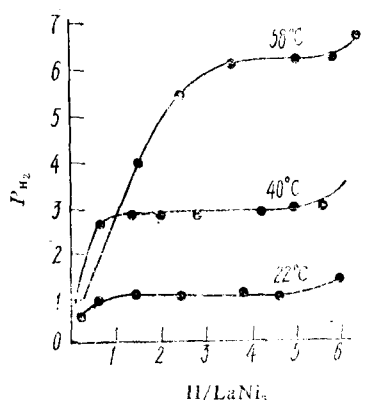


图 5 各温度下的压力组成等温线

本文由阙志康执笔。离子源工作是在叶骥良指导下进行的，参加工作的有：陈殿华、史淑梅、李素萍、赵坤、郭宝珍、孙翠花、秦久昌、杨大为、刘文华、李德茂等。 $\text{LaNi}_5$  贮氢材料的应用，得到了有色金属研究总院杨开棣同志的大力协助，特此致谢。

(编辑部收到日期：1982年2月16日)

(上接第188页)

10 设计工艺流程，则可以减少设备投资，节省运行费用，而又同样可达到 Ce 和 Pm 的分离目的。当不要求进行 Ce 和 Pm 的分离时，仅需加 2N 或 3N  $\text{HNO}_3$  全部反萃取 Ce(Ⅲ)、Pm(Ⅲ) 和其它三价稀土即可。

## 参 考 文 献

- [1] 庄维新等，从废水中提取超钚元素和稀土元素，中国科学院原子能研究所，内部资料，1979年。
- [2] D. F. Peppard et al., *J. Inorg. Nucl. Chem.*, **5**, 141 (1957).
- [3] L. A. Bray et al., HW-78987 Rev. (1963).
- [4] L. A. Bray et al., HW-84101 (1961).
- [5] G. W. Smith et al., *Anal. Chem.*, **29**, 448 (1957).
- [6] M. H. Campbell et al., HW-64619 (1960).
- [7] J. Krtík et al., *Anal. Chem.*, **235**(5), 401 (1968).
- [8] J. B. Knauer et al., ORNL-TM-2428 (1968).
- [9] PG-205 (W), Technical Branch, Windscale Works, 1961.
- [10] S. Frederic et al., *Anal. Chem.*, **34**, 1406 (1962).
- [11] T. A. Butler et al., *Ind. Eng. Chem.*, **53**, 651 (1961).
- [12] C. E. Lyon et al., AERE-R-4537 (1964).
- [13] R. E. Lerch, BNWL-805 (1968).
- [14] F. L. Culler et al., ORNL-3627 (1964).
- [15] B. F. Myasoedov et al., *Radiochem. Radioanal. Lett.*, **22**, 233 (1975).
- [16] B. И. Ченовой и др., *Радиохимия*, **17**, 206 (1975).
- [17] G. F. Smith et al., *Ind. Eng. Chem.*, (Anal. Ed.) **12**, 268 (1940).
- [18] R. E. McHenry, ORNL-TM-657 (1965).
- [19] 国外从高放废液中综合回收裂片同位素和锕系元素流程的概述，原子能参考资料，内部资料，第十一期，1977。
- [20] J. A. Partridge et al., *J. Inorg. Nucl. Chem.*, **31**, 2587 (1969).

(编辑部收到日期：1981年4月11日)